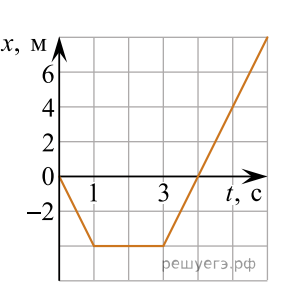
## Централизованное тестирование по физике, 2020

При выполнении заданий с кратким ответом впишите в поле для ответа цифру, которая соответствует номеру правильного ответа, или число, слово, последовательность букв (слов) или цифр. Ответ следует записывать без пробелов и каких-либо дополнительных символов. Дробную часть отделяйте от целой десятичной запятой. Единицы измерений писать не нужно. Ответ с погрешностью вида  $(1,4 \pm 0,2)$  Н записывайте следующим образом: 1,40,2.

Если вариант задан учителем, вы можете вписать или загрузить в систему ответы к заданиям с развернутым ответом. Учитель увидит результаты выполнения заданий с кратким ответом и сможет оценить загруженные ответы к заданиям с развернутым ответом. Выставленные учителем баллы отобразятся в вашей статистике.

**1.** На рисунке представлен график зависимости координаты x тела, движущегося вдоль оси Ox, от времени t. Тело находилось в движении только в течение промежутка(-ов) времени:



1) (4; 6) c 2) (0; 1) c, (3; 6) c 3) (0; 1) c, (3; 4) c

4) (0; 4) c

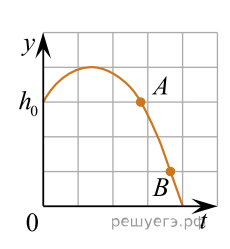
5) (3; 6) c

2. На рисунке точками обозначены положения частиц и стрелками показаны скорости их движения в некоторый момент времени. Если все частицы движутся равномерно и прямолинейно, то с частицей A столкнётся частица, обозначенная цифрой: Примечание. Повторные столкновения частиц не рассматривать.



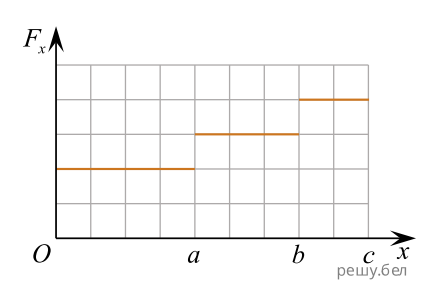
1) 1 4) 4 2) 2 3)3 5)5

3. На рисунке представлен график зависимости координаты у тела, брошенного вертикально вверх с высоты  $h_0$ , от времени t. Укажите правильное соотношение для модулей скоростей тела в точках A и B.



1)  $v_B = 9v_A$  2)  $v_B = 3\sqrt{3}v_A$  3)  $v_B = 3v_A$  4)  $v_B = \sqrt{3}v_A$  5)  $v_B = \sqrt{2}v_A$ 

4. Тело двигалось вдоль оси Ox под действием силы  $\vec{F}$ . График зависимости проекции силы  $F_x$  на ось Ox от координаты x тела представлен на рисунке. На участках  $(O;\ a),\ (a;\ b),\ (b;\ c),\ c$ ила совершила работу  $A_{0a},\ A_{ab},\ A_{bc}$  соответственно. Для этих работ справедливо соотношение:

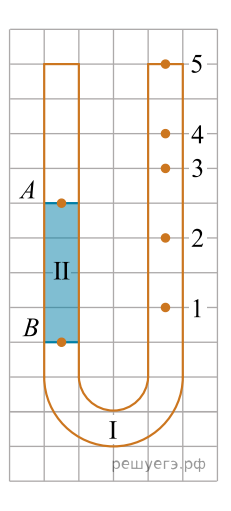


1)  $A_{0a} < A_{ab} < A_{bc}$  2)  $A_{0a} < A_{bc} < A_{ab}$  3)  $A_{0a} = A_{bc} < A_{ab}$  4)  $A_{0a} = A_{ab} < A_{bc}$  5)  $A_{bc} < A_{ab} < A_{0a}$ 

5. Два тела массами  $m_1$  и  $m_2 = 3m_1$  двигались по гладкой горизонтальной м плоскости со скоростями, модули которых  $v_1 = 3, 0 \frac{M}{c} u \ v_2 = 1, 0 \frac{M}{c}$ . Если после столкновения тела продолжили движение как единое целое, то модуль максимально возможной скорости v тел непосредственно после столкновения равен:

1)  $1.5\frac{M}{C}$  2)  $2.0\frac{M}{C}$  3)  $3.0\frac{M}{C}$  4)  $3.5\frac{M}{C}$  5)  $4.0\frac{M}{C}$ 

6. В левое колено U-образной трубки с жидкостью I долили не смешивающуюся с ней жидкость II, плотность которой  $ho_{II} = rac{3}{4} 
ho_I$  (см. рис.). Если в состоянии равновесия точка A находится на границе жидкость II-воздух, а точка B- на границе жидкость I- жидкость II, то на границе жидкость I- воздух находится точка под номером:



1) 1 2) 2 3) 3

7. В Международной системе единиц (СИ) удельная теплоёмкость вещества измеряется в:

3) 
$$\frac{\text{Дж}}{\text{K}\Gamma}$$

2) 
$$\frac{\mathcal{J}_{\mathsf{K}}}{\mathsf{K}}$$
 3)  $\frac{\mathcal{J}_{\mathsf{K}}}{\mathsf{K}\Gamma}$  4)  $\frac{\mathcal{J}_{\mathsf{K}}}{\mathsf{K}\Gamma \cdot \mathsf{K}}$ 

5) 5

8. Если давление идеального газа р = 2,0 кПа, а средняя кинетическая энергия поступательного движения молекул газа  $\langle E_{\kappa} \rangle = 1.5 \cdot 10^{-20}$  Дж., то концентрация п молекул газа равна:

1) 
$$1.0 \cdot 10^{23} \text{ m}^{-3}$$

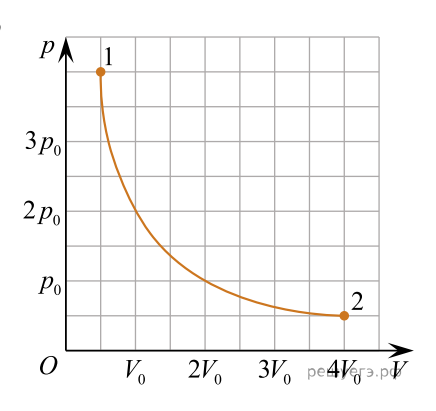
2) 
$$1.5 \cdot 10^{23} \text{ m}^{-3}$$

$$\textit{1)} \ \ 1,0 \cdot 10^{23} \ \ \mathrm{m}^{-3} \qquad \textit{2)} \ \ 1,5 \cdot 10^{23} \ \ \mathrm{m}^{-3} \qquad \textit{3)} \ \ 2,0 \cdot 10^{23} \ \ \mathrm{m}^{-3} \qquad \textit{4)} \ \ 1,5 \cdot 10^{23} \ \ \mathrm{m}^{-3} \qquad \textit{5)} \ \ 3,0 \cdot 10^{23} \ \ \mathrm{m}^{-3}$$

4) 
$$1.5 \cdot 10^{23} \text{ m}^-$$

5) 
$$3.0 \cdot 10^{23} \text{ m}^{-3}$$

9. На рисунке показан график зависимости давления р одноатомного идеального газа от его объёма V. При переходе из состояния 1 в состояние 2 газ совершил работу, равную  $A = 9 \kappa Дж$ . Количество теплоты Q, полученное газом при этом переходе,



1) 1 кДж 2) 4 кДж 3) 5 кДж

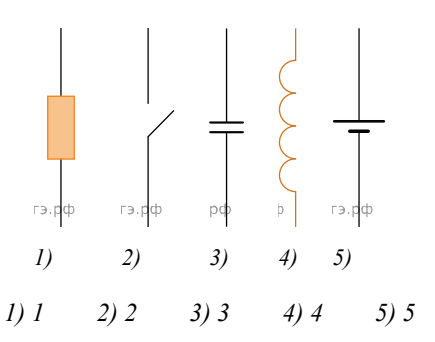
4) 7 кДж

5) 9 кДж

**10.** Сосуд, плотно закрытый подвижным поршнем, заполнен воздухом с относительной влажностью  $\phi_1 = 30\%$ . Если при изотермическом сжатии объём воздуха в сосуде уменьшится в три раза, то относительная влажность  $\phi_2$  воздуха будет равна:

- 1) 100% 2) 90%
- 3) 30%
- 4) 15%
- 5) 10%

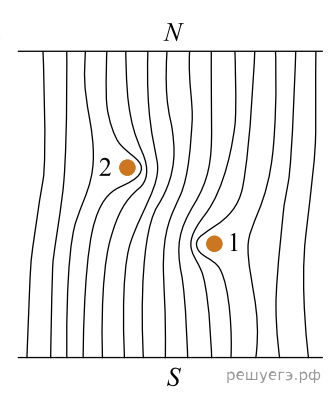
11. На рисунке представлены условные обозначения элементов электрической цепи. Обозначение конденсатора отмечено цифрой:



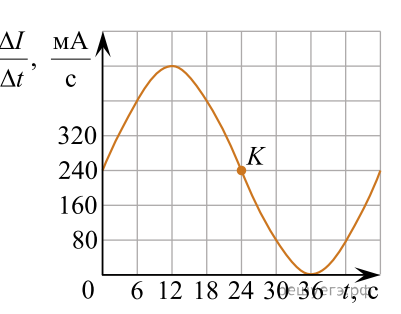
12. Плоский воздушный конденсатор зарядили и отключили от источника питания. Чтобы энергию электростатического поля конденсатора уменьшить в 3 раза, расстояние между обкладками необходимо:

- 1) увеличить в 3 раза
- 2) увеличить в 9 раз
- 3) уменьшить в 3 раза
- 4) уменьшить в 9 раз
- 5) не изменять

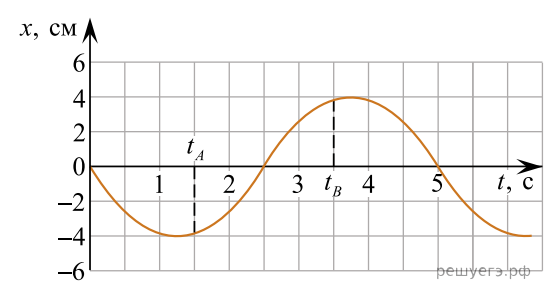
- 13. Сопротивление стальной  $\left( \rho = 8 \frac{\Gamma}{{
  m CM}^3} \right)$  проволоки длиной l=200 м равно R=4 Ом. Если удельное сопротивление стали  $ho_{y\pi} = 2 \cdot 10^{-7} \; {
  m Om} \cdot {
  m M},$  то масса т проволоки равна:
  - 2) 4 кг 1) 2 кг 3) 8 кг 4) 12 кг 5) 16 кг
- 14. Между полюсами N и S постоянного магнита находятся два тонких прямых длинных проводника 1 и 2, перпендикулярных плоскости рисунка. Сечения проводников показаны как точки. На рисунке схематически изображены линии индукции магнитного поля, созданного проводниками и магнитом. Направление линий не указано. Токи в проводниках направлены:



- 1) 1 к нам, 2 *от* нас
- 2) 1 om нас, 2 om нас 3) 1 к нам, 2 к нам 5) 1 — к нам, 2 — ток в проводнике отсутствует
- 4) 1 om нас, 2 к нам
- **15.** На рисунке изображён график зависимости скорости изменения силы тока  $\frac{\Delta I}{\Delta t}$  в  $\Delta I$ катушке от времени t. Если индуктивность катушки L=30 м $\Gamma$ н, то в момент времени  $\Delta t$ t = 24 c модуль ЭДС самоиндукции в катушке равен:



- 1) 6,0 мВ
- 2) 7,2 мВ
- 3) 14 мВ
- 4) 18 мВ
- 5) 24 мB
- 16. Математический маятник совершает гармонические колебания. На рисунке представлен график зависимости координаты x маятника от времени t. Изменение фазы колебаний маятника в течение интервала времени  $[t_A; t_B]$  равно:



- $1)\frac{\pi}{5}$  рад

- 2)  $\frac{\pi}{4}$  рад 3)  $\frac{2\pi}{5}$  рад 4)  $\frac{4\pi}{5}$  рад 5)  $\frac{8\pi}{5}$  рад
- 17. На экране, расположенном на одинаковом расстоянии от двух точечных источников когерентных световых волн, получена интерференционная картина (см. рис.). Если разность фаз волн в точке 1 равна нулю, то в точке 2 разность фаз волн равна:



- 1) 0 2) π *3*) 2π *4*) 3π
- 18. Энергия атома водорода в основном состоянии  $E_1 = -13,60$   $_{2}$ В, а энергия атома водорода в возбуждённом состоянии  $E_2 = -0.85$  эВ. Если атом перейдёт из основного состояния в возбуждённое, то энергия атома изменится на  $\Delta E$ , равное:
  - 1) -14,45 эВ
- 2) -12,75 эВ
- 3) -0,85 3B 4) +12,75 3B

*5*) 4π

5) +14,45 эВ

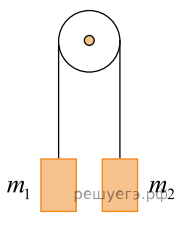
**19.** Почва считается загрязнённой кадмием, если в одном килограмме почвы содержится больше чем  $N_0 = 5.4 \cdot 10^{18}$  атомов кадмия. В одном аккумуляторе типа AA находится  $N_1=3,2\cdot 10^{22}$  атомов кадмия. Если весь кадмий из аккумулятора попадёт в почву, то максимальная масса т загрязнённой почвы будет равна:

**20.** Если при захвате ядром изотопа лития  ${}^6_3Li$  некоторой частицы образуются ядра изотопа гелия  ${}^4_2Heu$  изотопа водород  $^{3}_{1}H,$  то захваченной частицей является:

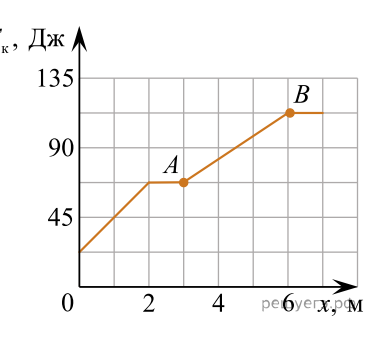
- 1) протон
- 2) электрон
- 3) а-частица
- 4) позитрон
- 5) нейтрон

**21.** Турист ожидал свой багаж в аэропорту, стоя у начала равномерно движущейся багажной ленты. Спустя время t=2 с с после появления багажа в начале ленты турист заметил свой багаж и начал догонять его, двигаясь равномерно со скоростью, модуль которой  $v_{\rm T}=1\frac{{
m M}}{c}$ . Если турист догнал багаж, пройдя вдоль ленты расстояние L=8 м, то модуль скорости  $v_{\scriptscriptstyle R}$  ленты был равен ...  $\frac{\mathrm{ДM}}{\mathrm{C}}$ .

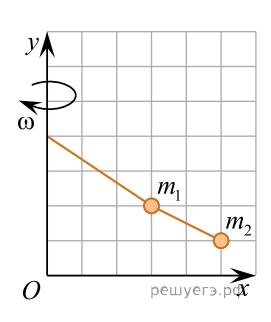
**22.** Два небольших груза массами  $m_1 = 0.17$  кг и  $m_2 = 0.29$  кг подвешены на концах невесомой нерастяжимой нити, перекинутой через неподвижный гладкий цилиндр. В начальный момент времени оба груза удерживали на одном уровне в состоянии покоя (см. рис.). Через промежуток времени  $\Delta t = 0,60~\mathrm{c}$  после того как их отпустили, модуль перемещения  $|\Delta r|$  грузов друг относительно друга стал равен ... см.



23. На рисунке приведён график зависимости кинетической энергии Е, тела, движущегося вдоль оси Ox, от координаты x. На участке AB модуль результирующей сил, при-  $E_{\kappa}$ , Дж ightharpoonupложенных к телу, равен ... Н.



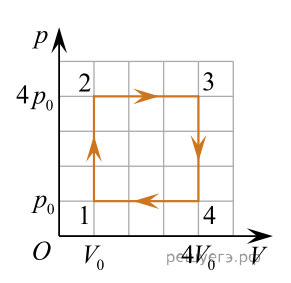
24. Вокруг вертикальной оси Оу с постоянной угловой скоростью 🛈 вращаются два небольших груза, подвешенных на лёгкой нерастяжимой нити. Верхний конец нити прикреплён к оси (см. рис.). Если масса первого груза  $m_1 = 90$  г, то масса первого груза  $m_2$  равна ... г. Примечание. Масштаб сетки вдоль обеих осей одинаков.



25. Если идеальный газ, количество вещества которого постоянно, изохорно охладили от температуры  $t_1=117~^{\circ}\mathrm{C}$  до температуры  $t_2 = 39$  °C, то модуль относительного изменения давления газа  $\left| \frac{\Delta p}{p_1} \right|$  равен... %.

26. Внутри электрочайника, электрическая мощность которого P=700 Вт, а теплоёмкость пренебрежимо мала, находится горячая вода  $\left(c=4200\frac{\text{Дж}}{\text{кг}\cdot^{\circ}\text{C}}\right)$  массой m=1,0 кг. Во включённом в сеть электрическом чайнике вода нагрелась от температуры  $t_1 = 88.0$  °C до температуры  $t_2 = 92.0$  °C за время  $\tau_1 = 40$  с. Если затем электрочайник отключить от сети, то вода в нём охладится до начальной температуры  $t_1$  за время  $\tau_2$ , равное ... с. Примечание. Мощность тепловых потерь электрочайника считать постоянной.

**27.** С идеальным одноатомным газом, количество вещества которого постоянно, провели циклический процесс  $1 \to 2 \to 3 \to 4 \to 1$ , p-V-диаграмма которого изображена на рисунке. Если  $p_0 = 58$  кПа,  $V_0 = 13$  дм<sup>3</sup>, то количество теплоты Q, полученное газом при нагревании, равно ... кДж.

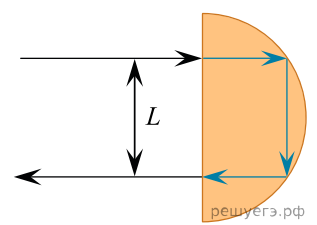


28. Узкий параллельный пучок света падает по нормали на плоскую поверхность прозрачного

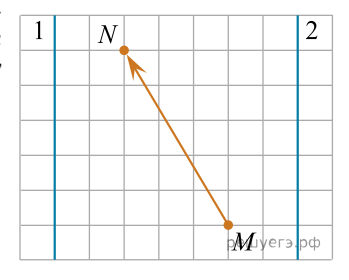
 $\left(n=rac{4}{3}
ight)$  полуцилиндра радиусом  $R=3\sqrt{3}$  см выходит из неё параллельно падающему пучку

света (см. рис.). Если от момента входа в полуцилиндр до момента выхода из него потери энергии пучка не происходит, то минимальное расстояние L между падающим и выходящим пучками света равно...см.

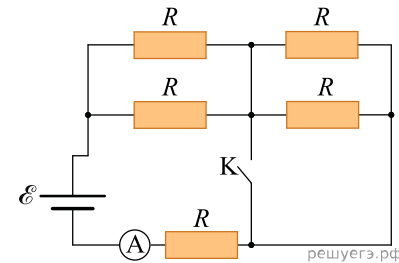
Примечание. Полуцилиндр — это тело, образованное рассечением цилиндра плоскостью, в которой лежит его ось симметрии.



**29.** На рисунке изображён участок плоского конденсатора с обкладками 1 и 2, которые перпендикулярны плоскости рисунка. Если при перемещении точечного положительного заряда q=14 нКл из точки M в точку N электрическое поле конденсатора совершило работу A=390 нДж, то разность потенциалов  $\phi_1-\phi_2$  между обкладками равна ... B.



30.~B электрической цепи, схема которой приведена на рисунке, сопротивления всех резисторов одинаковы и равны R, а внутреннее сопротивление источника тока пренебрежимо мало. Если до замыкания ключа K идеальный амперметр показывает силу тока  $I_1=18~{\rm MA}$ , то после замыкания ключа K амперметр показывал силу тока  $I_2$  равную ...  ${\rm MA}$ .



31. Квадратная рамка изготовлена из тонкой однородной проволоки. Сопротивление рамки, измеренное между точками A и B (см. рис.),  $R_{AB}=0.50$  Ом. Если рамку поместить в магнитное поле, то при равномерном изменении магнитного потока от  $\Phi_1=176$  мB6 до  $\Phi_2=80$  мB6 через поверхность, ограниченную рамкой, за время  $\Delta t=500\,$  мс сила тока I в рамке будет равна ... мA.



32. Радар, установленный на самолёте, излучил вперёд по движению в сторону неподвижного аэростата два коротких электромагнитных импульса, следующих друг за другом через промежуток времени  $\tau=20~{\rm MC.}$ . Эти импульсы отразились от аэростата и были приняты радаром. Если модуль скорости, с которой самолёт приближается к аэростату,  $\upsilon=210\frac{{\rm M}}{{\rm C}}$ , то промежуток времени между моментами излучения и приёма первого импульса больше, чем промежуток времени между моментами излучения и приёма второго импульса, на величину  $\Delta t$ , равную ... нс.